

# Symulator tomografu komputerowego

Maciej A. Czyzewski  
inf136698

Poznan University of Technology  
Poland

## 1 Zastosowany model tomografu

Rownolegly (choc w projekcie zaimplementowany jest rowniez stozkowy).

## 2 Zastosowany język programowania oraz dodatkowe biblioteki

Python. Lista bibliotek (niektore sluza tylko do debugowania):

- watchdog==0.9.0
- numpy==1.17.2
- scipy==1.3.1
- numba==0.46.0
- pydicom==1.4.2
- ipython==7.13.0
- tqdm==4.36.1
- Unidecode==1.1.1
- Pillow==7.0.0
- scikit\_image==0.15.0
- matplotlib==3.1.1
- skimage==0.0

## 3 Opis głównych funkcji programu

### 3.1 pozyskiwanie odczytów dla poszczególnych detektorów

Sinogram jest generowany funkcja `fn_tomograph` (ponizej fragment).

```
1 # dla kolejnych detektorow
2 for ray in range(0, rays):
3     # funkcja `d2r` zamienia stopnie na radiany
4     shift = -(1 / 2) + ray * 1 / (rays - 1)
5
6     # tutaj mamy wspolrzedna emitera
7     if not cone: # jaki model ma byc uzyty?
8         x0 = size * np.cos(d2r(i - shift))
9         y0 = size * np.sin(d2r(i - shift))
10    else:
11        x0 = size * np.cos(d2r(i))
12        y0 = size * np.sin(d2r(i))
```

---

```

13  # po przeciwniej stronie chcemy detektor
14  x1 = (size) * np.cos(d2r(i + 180 + shift))
15  y1 = (size) * np.sin(d2r(i + 180 + shift))
16
17
18  # tricki:
19  # - [diff_x0/diff_y0] dla przypadku
20  #   gdy wejście to prostokąt
21  # - [size // 2] bo chcemy wysrodkowany
22  x0 = diff_x0 + int(x0) + size // 2
23  x1 = int(x1) + size // 2
24  y0 = diff_y0 + int(y0) + size // 2
25  y1 = int(y1) + size // 2
26
27  # generujemy punkty na linii
28  # oraz obcinamy te po za obrazkiem
29  line = fn_line(x0, y0, x1, y1, X=Sw, Y=Sh)
30
31  S = 0 # model addytywny
32  for p in line:
33      S += img[int(p[1]), int(p[0])]
34
35  linogram.append(S) # --> czyli wiersz sinogramu
36  ray_lines.append([x0, y0, x1, y1])

```

---

## 3.2 filtrowanie sinogramu, zastosowany rozmiar maski

Filtrowanie jak i przekształcenie sinogramu odbywa się w `fn_fbp` (ponizej fragment).

---

```

1 # znaleziony filtr:
2 # https://www.youtube.com/watch?v=pZ7JlXagT0w
3 f = fftfreq(sinogram.shape[0]).reshape(-1, 1)
4 # f - digital frequency
5 omega = 2 * np.pi * f # angular frequency
6 fourier_filter = 2 * np.abs(f) # ramp filter
7
8 projection = fft(sinogram, axis=0) * fourier_filter
9 sinogram = np.real(iffp(projection, axis=0))

```

---

Dlaczego akurat tak zrobiłem, ilustruje w `showcase.ipynb`.

## 3.3 ustalanie jasności poszczególnych punktów obrazu wynikowego oraz jego przetwarzanie końcowe (np. uśrednianie, normalizacja)

Ostatni postprocessing odbywa się w `fn_clip`.

---

```
1 def fn_clip(img, val=1.0, aggressive=False):
2     img = img.astype(float) * 255
3     img[img < 0] = 0 # obcinamy ujemne (artefakty z ifft)
4     img *= 1 / img.max() # chcemy [0, 1]
5
6     if aggressive: # zbedny krok
7         img = _fast_fn_noise_reduction(img)
8         # obcinanie odchylen (najjasniejszy, najciemniejszych)
9         if CONFIG["rays"] >= 1000:
10             p2, p98 = np.percentile(img, (0.5, 99.5))
11         else:
12             img = exposure.adjust_log(img, 1)
13             p2, p98 = np.percentile(img, (2, 98))
14             img = exposure.rescale_intensity(img, \
15                                             in_range=(p2, p98))
16
17     return img * 255
```

---

### 3.4 wyznaczanie wartości miary RMSE na podstawie obrazu źródłowego oraz wynikowego

Wyznaczanie miary RMSE odbywa się w `fn_calc_rmse`.

---

```
1 def fn_calc_rmse(A, B):
2     A, B = fn_clip(A), fn_clip(B)
3     errors = np.asarray(A - B) / 255
4     return np.sqrt(np.mean(np.square(errors)))
```

---

### 3.5 odczyt i zapis plików DICOM

Najlepiej sprawdzić działanie w pliku `showcase.ipynb`.

---

```
1 def do_dicom(PatientName=None, ImageComments=None, StudyDate=None):
2     # edycja danych w pliku DICOM
3     fn_save_dicom(
4         "data/test.dcm",
5         data={
6             "PatientName": PatientName,
7             "ImageComments": ImageComments,
8             "StudyDate": StudyDate,
9         },
10    )
11
12     # tutaj ładuje i wyświetla dane z pliku (prefix "==")
```

```
13 img = fn_load_dicom("data/test.dcm")
14
15 # obsługujemy te pliki
16 # można z nich robić Radon-a
17 plt.figure()
18 plt.imshow(img)
19
20 # interaktywne okienko / zgodnie z wymaganiami
21 interact_manual(do_dicom, \
22     PatientName="Maciej A. Czyzewski", \
23     ImageComments="Obrazek testowy, prawda?", \
24     StudyDate="20200119")
```

4 Filtrowanie

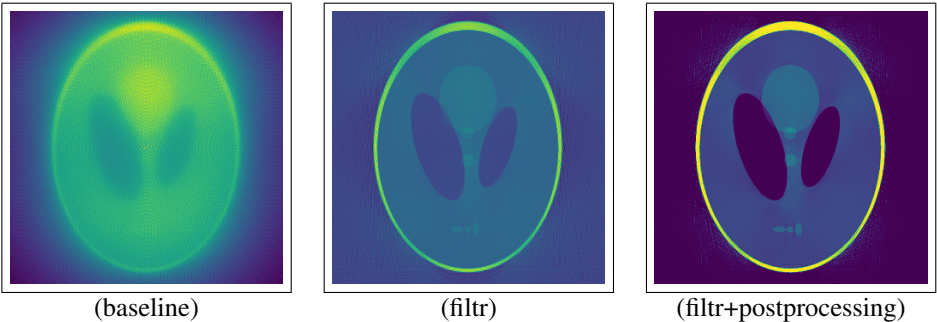


Figure 1: Wpływ filtrowania na jakość wizualną wyniku.

Wyraźnie widać że filtr jak i odpowiedni postprocessing jest ważnym elementem procesu aby osiągnąć wizualnie poprawny obraz. Więcej na temat zjawiska które jest powodem “rozmazania” w `showcase.ipynb`.

Method	RMSE
baseline	0.5087
filtr	0.1142
filtr+postprocessing	<b>0.0916</b>

Table 1: Wpływ filtrowania na RMSE.

5 Wynik eksperymentu

Tak. Wnioski wynikające z przebiegów są zgodne z oceną subiektywną jakości obrazu.

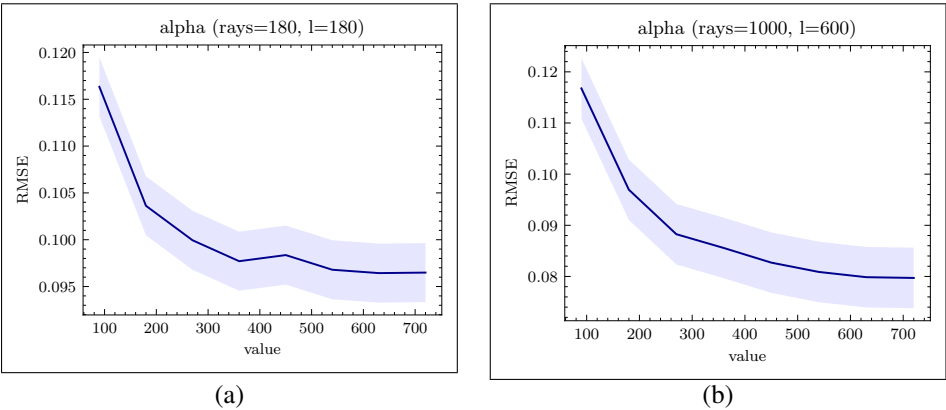


Figure 2: Wpływ kroku  $\Delta\alpha$  układu emiter/detektor na RMSE.

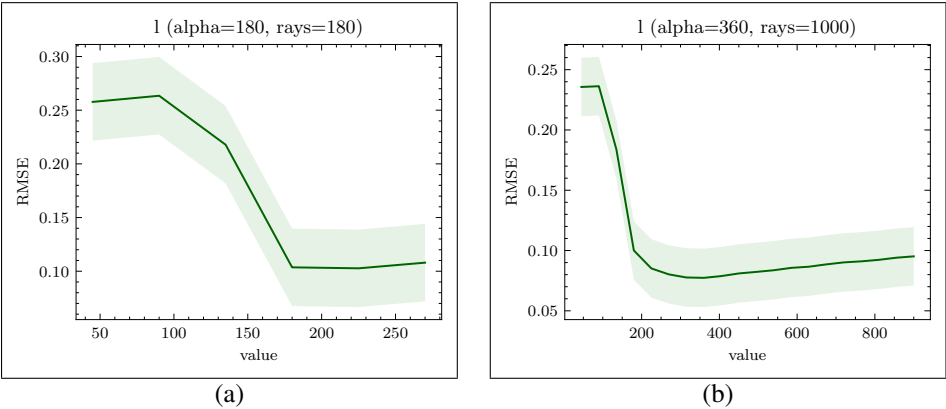


Figure 3: Wpływ rozwartości/rozpiętości układu emiter/detektor na RMSE.

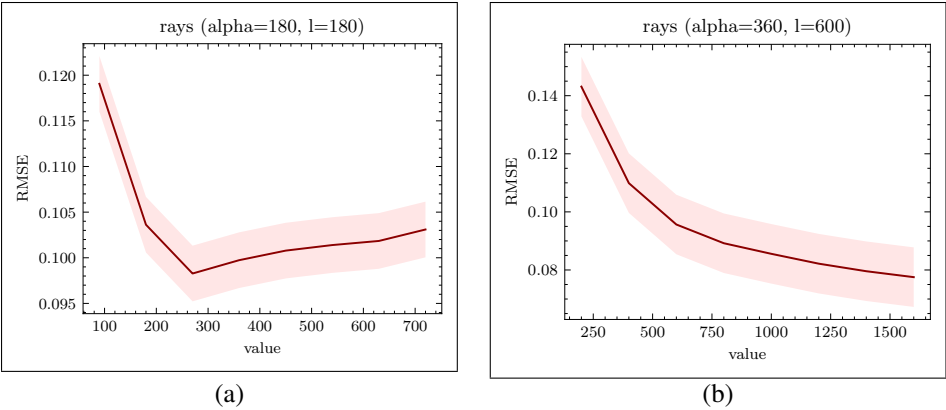


Figure 4: Wpływ liczby detektorów układu emiter/detektor na RMSE.

Przebiegi dla eksperymentu z wartościami początkowymi ustawionymi na 180 na każdym parametrze były niesatysfakcjonujące (a); dlatego zostały dla porównania wygenerowane dla dużo większych wartości/rozdzielczości (b).

Zgodnie z oczekiwaniami zwiększenie liczby detektorów zwiększa jakość obrazu (wymiar  $Y$  sinogramu się zwiększa) więc mamy zakodowaną większą ilość informacji. Podobnie jest z parametrem  $\alpha$  który natomiast powoduje że mamy coraz większą gęstość pomiarów w wymiarze  $X$  (czyli na połowę pełnego obrotu). Parametr rozpiętości;  $l$  jest trochę trudniejszy do interpretacji, nie powinien on monotonicznie wpływać na RMSE, gdy zsumujemy wartości promieni dla pustego obrazka zobaczymy “pregi”. Najlepiej wybrać takie  $l$  które dla danych pozostałych parametrów stworzy jak najmniej takich nieporządkanych kolek. Dodatkowo zbyt małe  $l$  nie będzie zbierać informacji z całego obrazka, zbyt duże zacznie osłabiać nam znaczenie detektorów zewnętrznych.